

**ЭПР — СПЕКТРОСКОПИЯ ИОНОВ  $\text{Co}^{2+}$   
В МОНОКРИСТАЛЛАХ ИЗОМОРФНОГО РЯДА  
ДВОЙНЫХ СУЛЬФАТОВ**

E. П. Жеглов, М. М. Зарипов, Ю. М. Рыжманов

Влияние состояния ионов примеси и локальной симметрии дефектов парамагнитных центров включения на магнитную симметрию спектров и характеризующие их параметры ЭПР изучалось ранее в матрице семиводных сульфатов [1]. Исследование было продолжено на примесных центрах ионов  $^{59}\text{Co}^{2+}$  ( $3d^7, 4F, S=1/2, I=7/2$ ) в изоморфном ряду двойных сульфатов  $\text{Me}_2\text{Mg}_{1-x}\text{Co}_x(\text{SO}_4)_2 \cdot 6\text{H}_2\text{O}$ ,  $\text{Me}=\text{K}^+$ ,  $\text{Rb}^+$ ,  $(\text{NH}_4)^+$ ,  $x=0.03$  [2]. Это один из наиболее изученных рядов соединений, для которых имеются подробные кристаллографические данные, но до настоящего времени не исследованные методом ЭПР.

Монокристаллы выращивались при свободном испарении растворов соответствующих солей при  $18-20^\circ\text{C}$  с добавлением парамагнитных ионов  $\text{Co}^{2+}$  из расчета  $0.5-3.0$  моль %. Структура монокристалла характеризуется моноклинной сингонией с пространственной группой симметрии  $P_{2_1/c}$  ( $C_{2h}^5$ ) и  $z=2$ : один молекулярный комплекс  $[\text{Me}(\text{H}_2\text{O})_6]^{2+}$  переходит в другой трансляцией точки  $0, 0, 0$  в точку  $1/2, 1/2, 0$  при отражении в плоскости ( $ac$ ). Эксперимент проводился на частоте 35.5 ГГц радиоспектрометра Е-12 «Вариан» при  $4.2\text{ K}$ . Использовался специально сконструированный держатель образца [3].

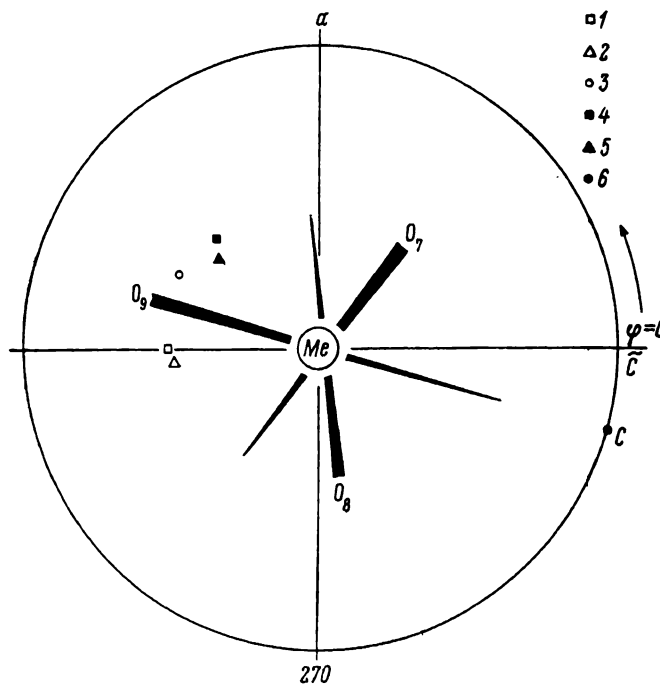
За лабораторную систему координат были выбраны кристаллографические оси  $a$  и  $b$  элементарной ячейки и ортогональная к ним ось  $c$ , причем угол  $\angle c\bar{c} = \beta = 90^\circ$ , а  $\beta$  — моноклинный угол. Такой выбор осей определялся тем, что в этом случае проведение эксперимента существенно упрощалось, поскольку  $(a\bar{c})$  является плоскостью магнитной симметрии, а  $b$  — осью симметрии, причем  $b \perp (a\bar{c})$  и  $a \perp (b\bar{c})$ . Угловая зависимость спектров ЭПР снималась непосредственно в плоскостях  $(a\bar{c})$ ,  $(ab)$  и  $(b\bar{c})$ .

Главные значения  $g$ -тензора и тензора сверхтонкого взаимодействия  $(K_x, K_y, K_z)$  и их угловые координаты

	$\text{K}_2\text{Mg}(\text{SO}_4)_2 \cdot 6\text{H}_2\text{O}$		$\text{Rb}_2\text{Mg}(\text{SO}_4)_2 \cdot 6\text{H}_2\text{O}$		$(\text{NH}_4)_2\text{Mg}(\text{SO}_4)_2 \cdot 6\text{H}_2\text{O}$	
	*	**	*	**	*	**
$g_x$	2.230 (2.5)	2.22	2.398 (2.7)	2.39	3.002 (3.06)	3.05
$\theta_x$	42	41	45	44	42	33
$\varphi_x$	279	281	276	281	247	271
$g_y$	3.557 (3.35)	3.55	3.349 (3.3)	3.32	3.06	2.96
$\theta_y$	—	71	—	72	—	79
$\varphi_y$	—	34	—	30	—	17
$g_z$	6.636 (6.56)	6.63	6.744 (6.65)	6.73	6.536 (6.45)	6.53
$\theta_z$	55	55	51	51	58	58
$\varphi_z$	136	138	135	135	113	114
$K_x$	57 (65)	68	42 (49)	46	27 (20)	23
$\theta_x$	42	42	45	40	42	34
$\varphi_x$	279	283	276	288	247	313
$K_y$	70 (80)	78	60	81	100 (20)	33
$\theta_y$	—	72	—	76	—	83
$\varphi_y$	—	34	—	36	—	32
$K_z$	289 (286)	369	294 (293)	376	249 (245)	319
$\theta_z$	55	54	51	53	59	56
$\varphi_z$	136	139	135	136	113	118

Примечание.  $K_x, K_y, K_z$  в  $10^{-4} \text{ см}^{-1}$ ;  $\theta$  и  $\varphi$  в градусах. Погрешности  $\Delta g^* = \pm 7 \cdot 10^{-3}$ ,  $\Delta g^{**} = \pm 10^{-2}$ ;  $\Delta K_x = \pm 5 \cdot 10^{-4} \text{ см}^{-1}$ ,  $\Delta K_z = \pm 5 \cdot 10^{-3} \text{ см}^{-1}$ ;  $\Delta \theta, \Delta \varphi = \pm 2^\circ$ .

После обработки на ЭВМ методом наименьших квадратов экспериментальной зависимости положения резонансных переходов от ориентации кристалла во внешнем магнитном поле получены главные значения и их направления для  $g$ - и  $K$ -тензоров, которые представлены в таблице в колонке с (\*\*). Результаты эксперимента, полученные непосредственно при ориентации магнитного поля  $H$  вдоль главных магнитных осей (главные оси  $g$ -тензора), отмечены (\*) (см. таблицу). Для сравнения в скобках приведены соответствующие параметры для  $\text{Co}^{2+}$  в матрице  $\text{Me}_2\text{Zn}_{1-x}\text{Co}_x(\text{SO}_4)_2 \cdot 6\text{H}_2\text{O}$  из [4]. Сопоставление (см. таблицу) двух независимых экспериментов показывает, насколько точно выполнена ориентация кристалла при выведении ортогональности трех базисных плоскостей и, как следствие,



Направления главных осей  $g_g$ -компоненты  $g$ -тензора комплекса  $[\text{Co}(\text{H}_2\text{O})_6]^{2+}$  в решетке  $\text{Me}'_2\text{Me}''(\text{SO}_4)_2 \cdot 6\text{H}_2\text{O}$ :  $\text{Me}'=\text{K}^+$  (1),  $\text{Rb}^+$  (2),  $(\text{NH}_4)^+$  (3),  $\text{Me}''=\text{Mg}^{2+}$ ; (4, 5, 6) соответствуют комплексу  $[\text{Cu}(\text{H}_2\text{O})_6]^{2+}$ , где  $\text{Me}''=\text{Zn}^{2+}$ .

однозначность определения угловых координат. Прослеживается влияние щелочного катиона ( $\text{K}^+$ ,  $\text{Rb}^+$ ,  $(\text{NH}_4)^+$ ), определяющего вторую координационную сферу. Главные оси  $g$ - и  $K$ -тензоров совпадают. Особо надо выделить проявление группы  $(\text{NH}_4)^+$ , которая образует дополнительную сетку водородных связей, существенно влияющих на разворот структурных фрагментов элементарной ячейки  $(\text{SO}_4)^{2-}$  и  $[\text{Me}(\text{H}_2\text{O})_6]^{2+}$  [5-7].

Можно ожидать, что вклад в параметры ЭПР определяется в основном кристаллическим полем первой координационной сферы, представляющей в этих соединениях гексааквакомплекс  $[\text{Me}(\text{H}_2\text{O})_6]^{2+}$  со слабо искаженной октаэдрической конфигурацией ( $C_i$ ). Это предопределило то, что основное внимание при рассмотрении локальной симметрии координационного полиэдра было направлено на угловые координаты трех его выделенных направлений: ( $\text{Me}-\text{O}_7$ ) ( $\text{Me}-\text{O}_8$ ) ( $\text{Me}-\text{O}_9$ ).

Из всех известных к настоящему времени данных о структуре двойных сульфатов (селенатов) [5-9] следует, что координатные углы выделенных направлений металл—кислород совпадают в пределах  $1.3-2.6^\circ$ . Эти направления представлены в кристаллографическом базисе  $a$ ,  $b$ ,  $c$  стереографической проекции, используя сетку Вульфа (см. рисунок). Указанные направления образуют между собой углы, которые отличаются от  $90^\circ$

в пределах  $1.2 \div 2.3^\circ$ . Длина связи ( $\text{Me}-\text{O}_9$ ) самая короткая — на  $1 \div 4\%$  короче, чем две другие, отличающиеся между собой  $< 1\%$ . Для монокристаллов, где  $\text{Me}^{2+}=\text{Cu}^{2+}$ , это различие достигает даже  $12 \div 13\%$ . Поэтому направление ( $\text{Me}-\text{O}_9$ ) можно считать тетрагональной осью молекулярного комплекса  $[\text{Me}(\text{H}_2\text{O})_6]^{2+}$  с симметрией  $D_{2h}$  [4, 10, 11]. Из такой модели следует, что вблизи или вдоль наиболее деформированной (в нашем случае сжатой) оси располагается одна из главных магнитных осей. Вдоль выделенных направлений для сравнения рассчитаны эффективные значения  $g$ -фактора для случая  $\text{Me}^+=\text{K}^+$ :  $g(\text{Me}-\text{O}_8)=2.31$ ,  $g(\text{Me}-\text{O}_2)=4.21$ ,  $g(\text{Me}-\text{O}_9)=6.18$  (соответственно  $g_x=2.23$ ,  $g_y=3.56$  и  $g_z=6.64$ ). Для изученных монокристаллов на сетку Вульфа (см. рисунок) нанесено направление, вдоль которого наблюдается максимальный магнитный момент  $m=g\mu_0S$  ( $\mu_0$  — магнетон Бора,  $S$  — спин электрона,  $g$  — z-компоненты  $g$ -тензора). Для сравнения приведены соответствующие направления  $g_z$  иона  $\text{Cu}^{2+}$ , взятые из работ [10, 11]. Прослеживается, хотя и менее заметно, чем наблюдалось в [1], влияние на магнитную симметрию иона внедрения. Сопоставление всего набора угловых координат главных магнитных осей иона  $\text{Co}^{2+}$  с угловыми координатами трех выделенных направлений, учитывая при этом минимальное угловое расхождение в пространстве для каждого изученного кристалла, выявило, что только с направлением ( $\text{Me}-\text{O}_9$ ) можно связать вектор локальной максимальной намагниченности комплекса  $[\text{Me}(\text{H}_2\text{O})_6]^{2+}$ .

Таким образом, для изученного ряда монокристаллов показано, что анизотропия магнитных свойств  $[\text{Co}(\text{H}_2\text{O})_6]^{2+}$ , которые обусловлены парамагнитным ионом, в основном является следствием симметрии локального окружения.

#### Л и т е р а т у р а

- [1] Жеглов Е. П., Зарипов М. М., Рыжманов Ю. М. ФТТ, 1984, т. 25, № 1, с. 110—113.
- [2] Жеглов Е. П., Зарипов М. М., Рыжманов Ю. М. Тезисы Всес. сов. спектроскопия коор. соед., 1986, Краснодар, с. 187—188.
- [3] Жеглов Е. П. ПТЭ, 1984, № 3, с. 228—229.
- [4] Bleaney B. F., R. S., Ingram D. J. E. Proc. Roy Soc., 1951, vol. A208, N 1093, p. 143—158.
- [5] Margulis T. N., Templeton H. D. Z. Kristallogr., 1962, Bd 117, N 2, p. 344—357.
- [6] Kannan K. K., Viswamitra M. A. Z. Kristallogr., 1965, Bd 122, N 1—4, p. 161—174.
- [7] Montgomery H., Chastain R. V., Natt J. J., Witkowska A. M., Lingafelter E. C. Acta Cryst., 1967, vol. 22, N 4, p. 775—780.
- [8] Powder Diffraction File, compiled by the JCPDS, 1977. 32500 p.
- [9] Structural reports. Internat. Union of Cryst., 1964, vol. 29, cumulative index. 1972, VIII, 817 p.
- [10] Bowers K. D., Owen F. Rep. Progr. Phys., 1955, vol. 18. Paramagnetic resonance II, p. 304—373.
- [11] Bagguley D. M. S., Griffiths J. H. E. Proc. Phys. Soc., 1952, vol. A65, N 392, p. 594—603.

Казанский физико-технический институт  
КФ АН СССР  
Казань

Поступило в Редакцию  
16 июля 1987 г.